

Kajian Kekuatan *Pontoon Lift* Dengan Penambahan *Upper Deck* dan *Lower Deck* Menggunakan Metode SFBM

Alamsyah¹, Wira Setiawan², Mangapoi Edwin Harto Adrian Purba³

Program Studi Teknik Perkapalan, Institut Teknologi Kalimantan, Balikpapan^{1,2,3},

alamsyah@lecturer.itk.ac.id

Article Info

Article history:

Submitted March 2021

Revised March 2022

Accepted April 2022

Published April 2022

Keyword:

pooton lift

finite element

bending stress.

ABSTRACT

This paper discusses the strength of the pontoon lift after adding the upper deck and lower deck which function as a supporting floor that becomes the footing for the workers when repairing the ship on the pontoon lift. The purpose of this study was to determine the value of the pontoon lift strength after adding a supporting floor by taking into account the construction safety factor. The method used is Shear Force Bending Moment (SFBM) with a numerical approach. The results showed that the right size for the lower deck on the pontoon lift is 7.082 m wide with a plate thickness of 8 mm and uses a cross-sectional profile measuring L 100x65x11. Meanwhile, the right upper deck size has a width of 1.46 m on the left and right sides, the plate thickness is 7 mm, and has a profile measuring L 180x90x10. In the pontoon lift construction for each operating scenario, the maximum stress was detected with the scenario containing the ship's load (σ) = 107.17 MPa at the bottom and (σ) = 214.56 MPa on the deck. While the maximum stress is detected in the scenario without a shipload, namely (σ) = 57.66 MPa on the bottom and (σ) = 115.45 MPa on the deck. The value of the safety factor for the pontoon lift after adding the upper and lower decks is relatively safe because it is at a minimum value of 1.29.

Kata Kunci:

Poonton lift

Elemen hingga

Tegangan lengkung

ABSTRAK

Paper ini membahas tentang kekuatan poonton lift setelah ditambahkan upper deck dan lower deck yang berfungsi sebagai lantai penunjang yang menjadi pijakan para worker ketika reparasi kapal dilakukan di atas poonton lift. Tujuan penelitian ini mengetahui nilai kekuatan poonton lift setelah dilakukan penambahan lantai penunjang dengan memperhatikan faktor safety kontruksi. Metode yang digunakan adalah Shear Force Bending Momen (SFBM) dengan pendekatan numerik. Hasil penelitian yang didapatkan bahwa untuk ukuran lower deck yang tepat pada poonton lift yakni lebar 7.082 m dengan ketebalan plat 8 mm dan menggunakan penampang profil berukuran L 100x65x11. Sedangkan untuk ukuran upper deck yang tepat memiliki lebar masing masing 1.46 m pada sisi kiri dan sisi kanan, ketebalan plat 7 mm, serta memiliki profil berukuran L 180x90x10. Pada konstruksi poonton lift untuk masing-masing skenario operasi dideteksi tegangan maksimum dengan skenario berisi muatan kapal (σ) = 107.17 MPa pada bottom dan (σ) = 214.56 MPa pada deck. Sedangkan tegangan maksimum dideteksi dengan skenario tanpa muatan kapal yakni (σ) = 57.66 MPa pada bottom dan (σ) = 115.45 MPa pada deck. Untuk nilai safety factor pontoon lift setelah penambahan upper deck dan lower deck didapatkan relatif aman karena berada pada nilai minimum 1.29.

1. PENDAHULUAN

Menurut pasal 309 ayat (1) KUHD (Pemerintah RI n.d.), “kapal” merupakan alat berlayar, termasuk di dalamnya adalah mesin penyedot pasir, mesin penggerak lumpur dan alat pengangkut terapung lainnya. Meskipun alat tersebut tidak memiliki alat penggerak sendiri, akan tetapi dapat dikategorikan sebagai “alat berlayar” karena dapat mengapung dan bergerak di atas perairan (Pranoto, 2020). Saat kapal beroperasi di lautan, maka lingkungan akan memberikan andil secara signifikan yang akan menguji kekuatan struktur kapal tersebut (Hidayat, 2017).

Dalam melayani pekerjaan reparasi kapal-kapal kecil PT. XYZ membangun dan mengembangkan prototipe berbentuk tabung yang diistilahkan sebagai *ship lift* berbahan alumunium yang berfungsi menyerupai *floating dock* dengan *Ton Lift Capacity* (TLC) ± 10 ton. Prototipe memiliki panjang 11 meter yang bersifat dapat dibongkar pasang (*portable*). Prototipe memiliki kendala operasional dimana TLC yang tidak memenuhi target dan stabilitas belum bisa diandalkan. Akan tetapi dalam perjalannya telah dikembangkan pula dengan melakukan *redesign* meliputi *increasing* dimensi panjang 31 meter dan penambahan ukuran diameter lambung bawah 1.88 meter, serta ukuran diameter lambung atas 0.94 meter. Poonton Lift tersebut diklaim memiliki TLC ± 77 ton (Alamsyah dkk, 2020b). Penelitian lainnya dengan objek yang sama telah dikaji tentang umur kelelahan konstruksi *poonton lift* menggunakan metode elemen dimana diperkirakan konstruksi memiliki usia maksimal 10 tahun dengan material Aluminium 6061 (Alamsyah dkk, 2020a).

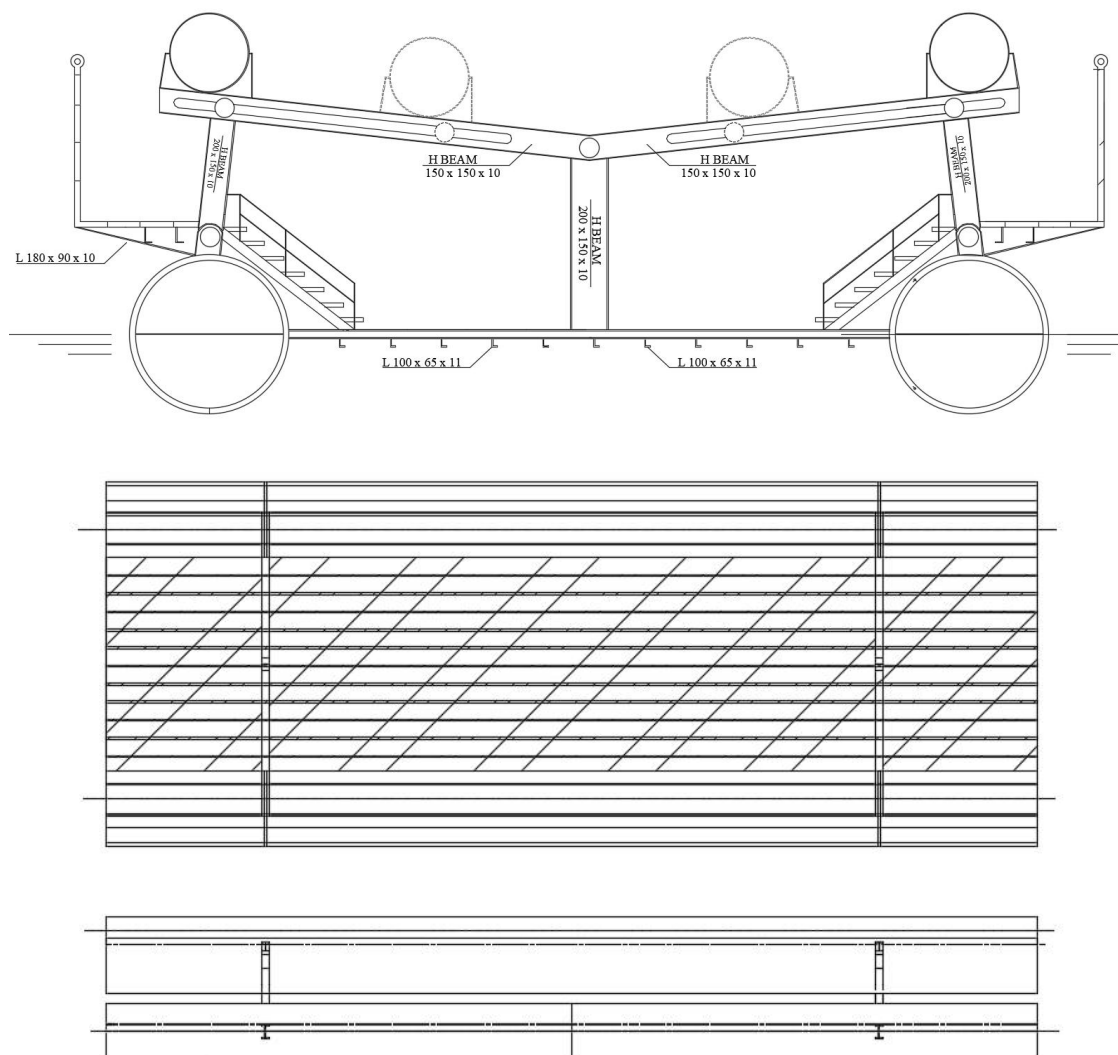
Penelitian ini membahas tentang desain *pontoon lift* yang telah dievaluasi dan dikembangkan guna mempunyai aksebilitas, dan kekuatan dengan menambahkan *upper deck* dan *lower deck* pada desain, meskipun berimplikasi langsung pada reduksi nilai TLC. *Upper deck* dan *lower deck* merupakan geladak tambahan yang menunjang proses operasi *pontoon lift* dimana tempat pijakan para *worker* saat terjadinya reparasi kapal di atas *pontoon lift*. Pada penelitian ini objek *pontoon lift* akan diteliti nilai tegangan maksimum konstruksi dengan melihat parameter *safety factor*. Parameter lainnya adalah aspek kekuatan struktur dimana hal tersebut mengacu pada daya tahan sebuah struktur dalam mengakomodir rencana beban konstruksi. Untuk kekuatan *pontoon lift* bisa ditinjau dari kekuatan longitudinal struktur dengan melihat tegangan longitudinal maksimum yang dapat dialami oleh *pontoon lift*. Selain itu tegangan geser akan menjadi parameter lain yang sangat relevan (Y. Bai, 2003). Parameter lainnya adalah nilai momen inersia yang terkait dengan kecenderungan benda untuk tetap diam atau tetap bergerak yang disebut sebagai kelembaman. Sebagai informasi bahwa hukum kelembaman atau hukum inersia adalah sama dengan hukum pertama Newton (R. A. Serway, 2009). Kajian ilmu material dan responnya terhadap gaya, penting di bidang teknik seperti misalnya nilai tegangan (*stress*) yang didefinisikan sebagai perbandingan antara gaya eksternal dengan luas penampang benda. Berdasarkan kajian-kajian tersebut penulis menganalisa tegangan maksimum pada *pontoon lift* dengan tambahan *upper deck* dan *lower deck* yang menggunakan metode *Shear Force Bending Moment* (SFBM).

2. METODE

Beberapa tahapan dalam penelitian ini diantaranya membuat model *upper deck* dan *lower deck* yang dipasang pada *pontoon lift* dalam bentuk 2D menggunakan *AutoCad*. Selanjutnya dilakukan perhitungan beban operasi *pontoon lift* menggunakan metode SFBM pendekatan numerik. Tahap akhir perhitungan *safety factor* dengan membandingkan tegangan konstruksi yang terjadi dan tegangan luluh material *pontoon lift*. Berikut ditunjukkan data sekunder yang menjadi objek penelitian yang menjadi lanjutan penelitian terdahulu ditunjukkan pada Tabel 1 dan Gambar 1.

Tabel 1. Ukuran utama daftar pontoon lift

Ukuran Utama	
Panjang (L)	31.00 meter
Tungi (H)	4.73 meter
Lebar (B)	12.13 meter
Sarat	0.94 meter
C _b	0.2
Diameter tabung bawah (D _{tb})	1.74 meter
Diameter tabung atas (D _{ta})	0.92 meter
Jarak antar tabung bawah (B _{ld})	7.08 meter



Gambar 1. GA pontoon lift

Gambar 1 dan Tabel 1 menunjukkan data *pontoon lift* yang akan dianalisa menggunakan metode SFBM. Akan dilakukan perhitungan beban konstruksi *pontoon lift* dengan dan tanpa muatan. Dari analisa beban tersebut akan ditemukan gaya lintang (*shear force*) dan momen lentur maximum (*bending moment*) yang terjadi pada konstruksi *pontoon lift*. Tegangan lentur konstruksi akan diperoleh dari perbandingan nilai momen lentur maximum (M) dengan modulus tampang konstruksi (W). Tahap selanjutnya akan ditentukan faktor keamanan (*Safety factor*) konstruksi *pontoon lift* dengan membandingkan nilai tegangan lentur (σ_L) dan tegangan luluh material (σ_Y).

3. HASIL DAN PEMBAHASAN

3.1. Perhitungan Beban Pontoon Lift

Untuk mengetahui beban pada *pontoon lift* dapat didekati dengan rules tentang konstruksi Biro Klasifikasi Indonesia (BKI) Vol. II (BKI, 2017) sebagai berikut :

$$p_D = p_0 \frac{20 \cdot T}{(10 + z - T) H} c_D \quad (1)$$

$$p_D = p_0 \frac{20 \cdot T}{(10 + z - T) H} c_D \quad (2)$$

$$p_0 = 2,1 \cdot (C_B + 0,7) \cdot c_0 \cdot c_L \cdot f \quad (3)$$

dimana

T = sarat kapal (m)

C_D = 1.0

$$P_o = 2,1(C_B+0,7) C_o x C_L x f \quad (4)$$

$$C_o = L/25 + 4, I(\text{untuk } L < 90\text{m}) \quad (5)$$

L = panjang kapal (m)

$$C_l = I/(2-L/90) (\text{untuk } L < 90\text{m}) \\ = 1.00 \quad (6)$$

f = 1.0

z = H (tinggi kapal)

sehingga didapatkan nilai beban yang terjadi pada *lower deck* adalah sebagai berikut

- Area $0 \leq x/L < 0.2$ [A] = 29.95 kN/m²
- Area $0.2 \leq x/L < 0.7$ [M] = 29.11 kN/m²
- Area $0.7 \leq x/L < 1.0$ [F] = 37.75 kN/m²

sehingga didapatkan nilai beban yang terjadi pada tabung bawah adalah sebagai berikut

- Area $0 \leq x/L < 0.2$ [A] = 32.59 kN/m²
- Area $0.2 \leq x/L < 0.7$ [M] = 65.06 kN/m²
- Area $0.7 \leq x/L < 1.0$ [F] = 65.06 kN/m²

Nilai beban tersebut selanjutnya digunakan untuk menentukan ukuran komponen konstruksi pada *lower deck* dan *upper deck*, serta *bottom*. Ukuran konstruksi yang ditentukan berupa ketebalan pelat dan modulus pembujur yang terdapat pada masing-masing *deck*.

$$t = 1,1 \cdot a\sqrt{(p \times k)} + t_k \quad (7)$$

$$t_b = 1,9 \cdot n_f \cdot a\sqrt{(p \times t)} + t_k \quad (8)$$

Sehingga didapatkan nilai ketebalan pelat masing-masing konstruksi yakni:

- a. Tebal pelat untuk konstruksi *lower deck* yakni $t = 8$ mm
- b. Tebal pelat untuk konstruksi *upper deck* yakni $t = 7$ mm
- c. Tebal pelat untuk konstruksi *bottom* yakni $t = 7$ mm

Selanjutnya menentukan nilai modulus pembujur untuk masing-masing konstruksi menggunakan persamaan berikut:

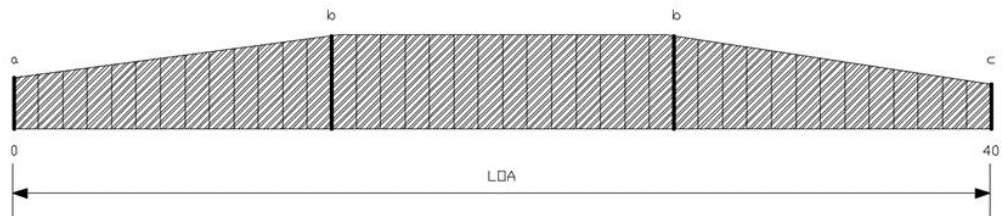
$$W = \left(\frac{83,3}{\sigma_{pr}} \right) m \cdot a \cdot l^2 \cdot P \quad (9)$$

$$W = c \cdot m \cdot a \cdot P \cdot l^2 \cdot k \quad (10)$$

Sehingga didapatkan nilai modulus pembujur sebesar 91.43 cm^3 untuk *upper deck* dan 248 cm^3 untuk *lower deck*.

3.2. Perhitungan Distribusi Berat Pontoon Lift

Untuk menyerahan perhitungan distribusi berat *pontoon lift* maka dilakukan pendekatan metode Owen Hughes (O. Hughes & F.K. Jeom, 2010) lalu membagi panjang *pontoon lift* menjadi 41 station termasuk station nol (0) yang ditunjukkan pada Gambar 2 berikut.



Gambar 2. Kurva distribusi gaya berat secara memanjang *pontoon lift*

Gambar 2 menunjukkan kurva distribusi berat *pontoon lift* dalam bentuk trapesium berdasarkan pendekatan rumusan Owen Hughes. Untuk membentuk kurva tersebut maka perlu ditentukan nilai C_b , nilai *Light Weight Ton* (LWT), *Length over all* (LOA) dan nilai k agar menemukan nilai ordinat a, b, dan c sebagai *station* bantu seperti ditunjukkan Tabel 2 berikut.

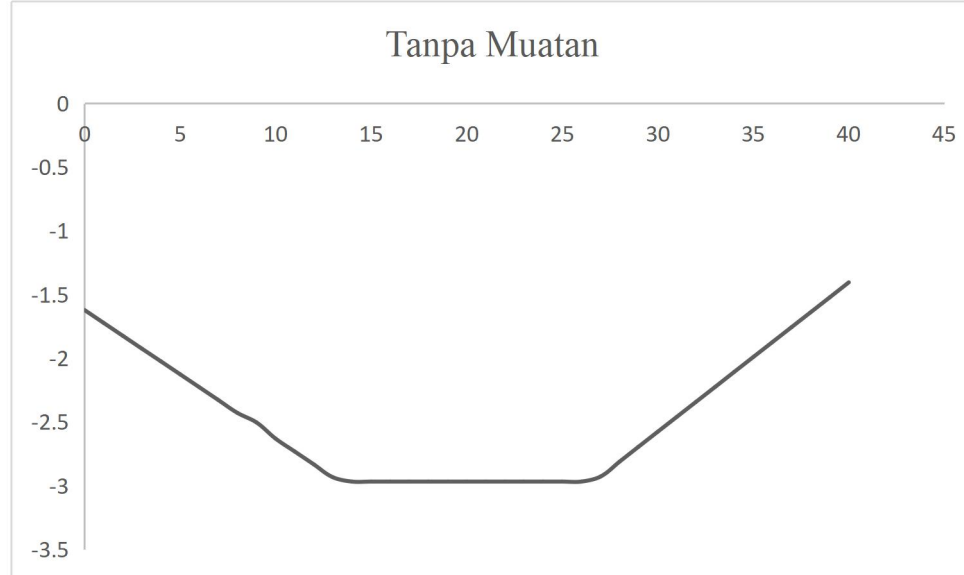
Tabel 2. penentuan nilai k untuk ordinat kurva distribusi berat bangunan apung

Ordinat k	a	b	c
$C_b < 0.6$	0.653	1.195	0.566
$0.6 \leq C_b \leq 0.75$	0.68	1.185	0.58
$C_b > 0.75$	0.706	1.175	0.596

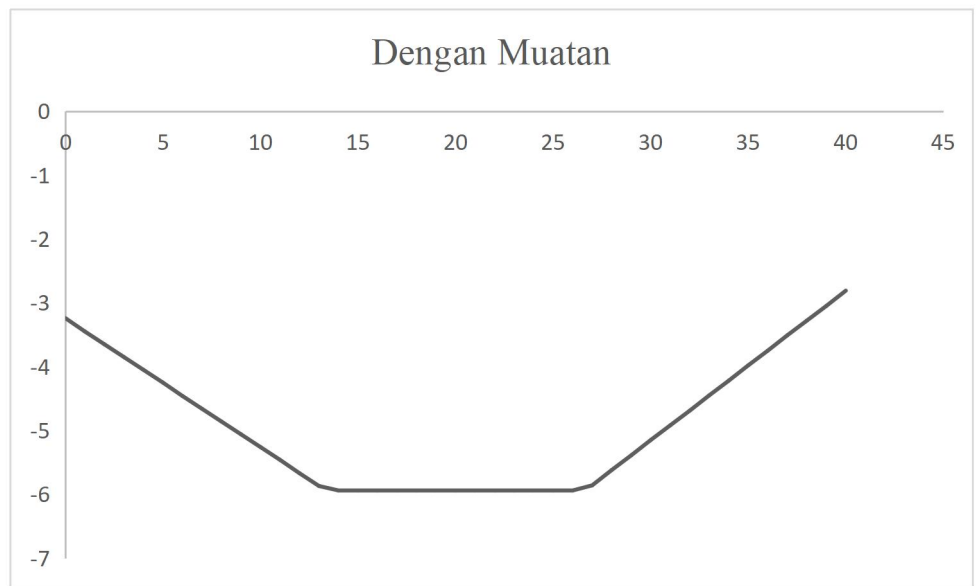
Tabel 2 menunjukkan nilai k yang ditentukan berdasarkan nilai C_b . Pada praktiknya untuk membentuk kurva seperti pada Gambar xx ordinat a, b, dan c ditentukan menggunakan persamaan berikut.

$$a, b, c = \frac{LWT}{LOA} \times k \quad (11)$$

Dimana nilai k yang digunakan berdasarkan Tabel 2. Sehingga didapatkan ordinat-ordinat distribusi berat *pontoon lift* saat membawa muatan dan tidak membawa muatan yang ditunjukkan pada Gambar 3 dan 4 berikut.

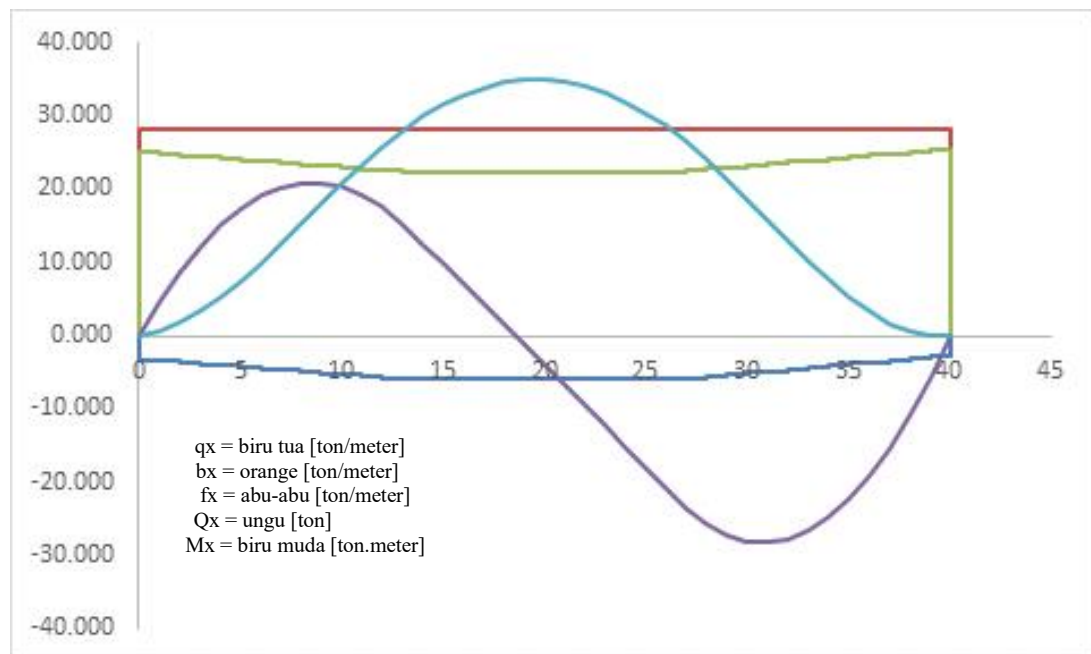


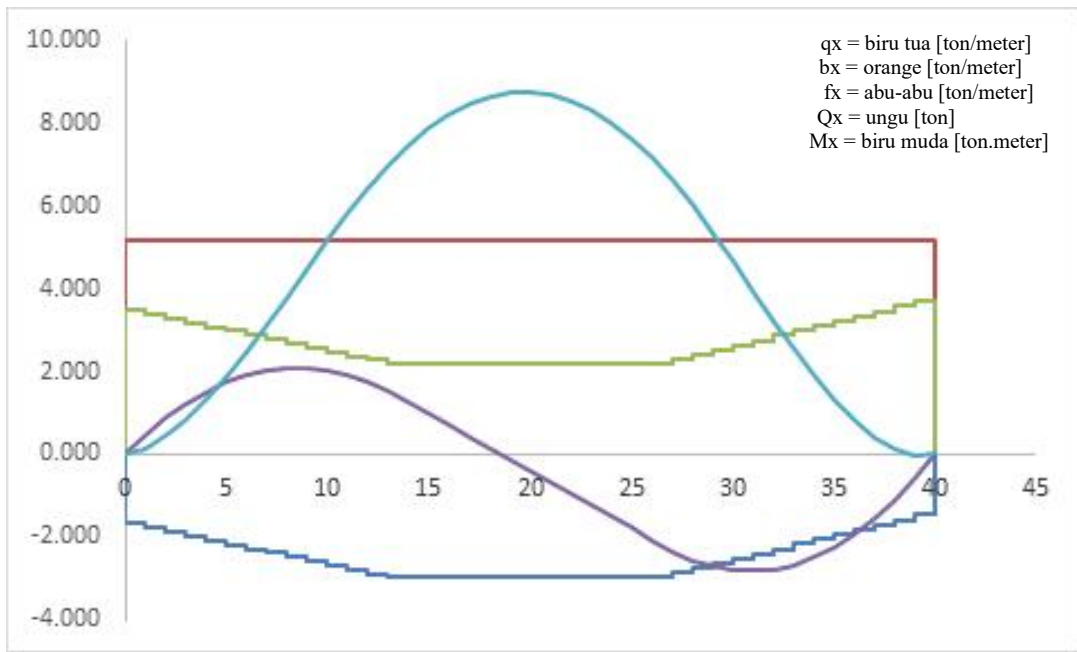
Gambar 3. Kurva distribusi gaya berat *pontoon lift* tanpa muatan

Gambar 4.Kurva distribusi gaya berat *pontoon lift* dengan muatan

3.3. Perhitungan Gaya Lintang dan Momen Lengkung *Pontoon Lift*

Setelah mendapatkan distribusi berat (qx) *pontoon lift* saat sedang membawa muatan dan tidak memuat, maka selanjutnya dilakukan perhitungan gaya lintang dan momen lengkung *pontoon lift* menggunakan perhitungan numerik *Shear Force Bending Moment* (SFBM). Perhitungan gaya lintang dan momen lengkung diasumsikan berada diperairan tenang sesuai perencanaan operasi dimana *pontoon lift* ini di skenariokan beroperasi pada perairan sungai. Untuk mendapatkan nilai gaya lintang dan momen lengkung maksimum maka perlu dilakukan perhitungan gaya angkat *pontoon lift* baik saat membawa muatan maupun tidak membawa muatan. Perhitungan gaya angkat (*bouyancy*) (bx) ditentukan berdasarkan ketinggian sarat masing-masing skenario operasi. Untuk ketinggian sarat saat tidak membawa muatan yakni $T = 0.28$ meter menghasilkan $bx = 5.16$ ton/meter setiap station dan ketinggian sarat saat membawa muatan $T = 0.94$ meter menghasilkan $bx = 28$ ton/meter setiap station. Berikut adalah gambar kurva *bouyancy* (bx), superposisi (fx), gaya lintang (Qx), dan momen lengkung (Mx) untuk masing-masing skenario yang ditunjukkan pada Gambar 5 dan 6.

Gambar 5. Kurva Qx dan Mx *pontoon lift* dengan muatan

Gambar 6. Kurva Qx dan Mx *pontoon lift* tanpa muatan

Gambar 5 dan 6 menunjukkan kurva gaya lintang dan momen lengkung untuk setiap section pada poonton lift. Skenario operasi tanpa muatan pada poonton lift menghasilkan nilai momen lengkung maximum (M_x) = 436.30 ton.meter dan gaya lintang maximum (Q_x) = 14 ton. Sedangkan untuk skenario operasi dengan muatan pada poonton lift menghasilkan nilai momen lengkung maximum (M_x) = 873.5 ton.meter dan gaya lintang maximum (Q_x) = 28.23 ton.

3.4. Perhitungan Modulus Penampang Global Pontoon Lift

Langkah selanjutnya adalah menghitung modulus penampang pontoon lift dengan menggunakan sistem tabulasi dimana akan dihitung modulus penampang per individu konstruksi-konstruksi penyusunnya dan pada akhirnya akan dijumlahkan. Berikut adalah sistem tabulasi dalam perhitungan modulus penampang global yang ditunjukkan pada Tabel 3.

Tabel 3. Perhitungan modulus penampang global

No	Nama bagian	Jumlah [n]	Lebar (cm) [b]	Tinggi (cm) [h]	Sudut Terhadap Bid. Horizontal [a]	Titik berat thd Base [AT]	Luas Total [Z]	Momen Luas [AT * z]	Momen Inersia [AT * z^2]	Momen Inersia Individu			
										$I_x \cos^2 a$	$I_y \sin^2 a$	I_o	
1	Pelat kulit tabung bawah												
	Pelat kulit 1	2	7	94	85		99,6	158	15734	2485990	296421	1043	297464
	Pelat kulit 2	2	7	94	85		99,6	158	15734	2485990	296421	1043	297464
	Pelat kulit 3	2	7	94	85		99,6	29,9	2978	89028	296421	1043	297464

	Pelat kulit 4	2	7	94	85	99,6	29,9	2978	89028	296421	1043	297464
	pelat sekat 1	2	1,2	0,6	0	10,4	94	978	91894	0	0	0
	pelat sekat 2	2	1,2	0,6	0	10,4	94	978	91894	0	0	0
2	Pelat upper deck							0	0	0	0	0
	Pelat sisi lajur 1	2	7	90	0	63	272	17136	4660992	425250	0	425250
	Pelat sisi lajur 2	2	7	90	0	63	367,45	23149	8506229	425250	0	425250
	Pelat alas lajur 1	2	70	7	0	49	223,5	10952	2447660	2001	0	2001
	Pelat alas lajur 2	2	70	7	0	49	223,5	10952	2447660	2001	0	2001
3	Pembujur											
	Pembujur lower deck											
	- Web 1	2	1,1	8,9	0	0,9	84,5	76	6426	65	0	65
	- Face 1	2	6,5	1,1	0	0,7	79,5	56	4424	1	0	1
	- Web 2	2	1,1	8,9	0	0,9	84,5	76	6426	65	0	65
	- Face 2	2	6,5	1,1	0	0,7	79,5	56	4424	1	0	1
	- Web 3	2	1,1	8,9	0	0,9	84,5	76	6426	65	0	65
	- Face 3	2	6,5	1,1	0	0,7	79,5	56	4424	1	0	1
	- Web 4	2	1,1	8,9	0	0,9	84,5	76	6426	65	0	65
	- Face 4	2	6,5	1,1	0	0,7	79,5	56	4424	1	0	1
	- Web 5	2	1,1	8,9	0	0,9	84,5	76	6426	65	0	65
	- Face 5	2	6,5	1,1	0	0,7	79,5	56	4424	1	0	1
	Pembujur upper deck											
	- Web 1	2	1	17	0	1,7	211,5	360	76045	409	0	409
	- Face 1	2	9	1	0	0,9	202,5	182	36906	1	0	1
	- Web 2	2	1	17	0	1,7	211,5	360	76045	409	0	409
	- Face 2	2	9	1	0	0,9	202,5	182	36906	1	0	1
4	Pelat kulit tabung atas											
	Pelat kulit 1	2	1	47	85	7,3	459,16	3352	1539044	5293	2	5295
	Pelat kulit 2	2	1	47	85	7,3	459,16	3352	1539044	5293	2	5295
	Pelat kulit 3	2	7	94	85	7,3	392,8	2867	1126330	296421	1043	297464
	Pelat kulit 4	2	7	94	85	7,3	392,8	2867	1126330	296421	1043	297464
5	Pelat lower deck											
	Pelat alas lajur 1	2	70	1	0	6,9	98,5	680	66946	6	0	6
	Pelat alas lajur 2	2	70	1	0	6,9	98,5	680	66946	6	0	6
	Pelat alas lajur 3	2	70	1	0	6,9	98,5	680	66946	6	0	6
	Pelat alas lajur 4	2	70	1	0	6,9	98,5	680	66946	6	0	6
	Pelat alas lajur 5	2	70	1	0	6,9	98,5	680	66946	6	0	6
						720		119146	29341995			2651053
						Σ_1		Σ_2	Σ_3			Σ_4

Tabel 3 menunjukkan perhitungan modulus penampang *pontoon lift* secara global dimana untuk mendapatkan nilai modulus pada lingkar atas dan lingkar bawah digunakan rumus turunan yang berasal dari sistem tabulasi tersebut yang ditunjukkan sebagai berikut:

Titik berat terhadap base (Z_1)

$$Z_1 = \frac{\Sigma_2}{\Sigma_1} \quad (12)$$

Titik berat terhadap puncak (Z_2)

$$Z_2 = H - Z_1 \quad (13)$$

Momen Inersia terhadap base (I_{xx})

$$I_{xx} = \Sigma_3 - \Sigma_4 \quad (14)$$

Momen Inersia terhadap sumbu netral (I_{NA})

$$I_{NA} = I_{xx} - (Z_1)^2 \times \Sigma_1 \quad (15)$$

Modulus penampang lingkar atas (W_a)

$$W_a = \frac{I_{NA}}{Z_2} \quad (16)$$

Modulus penampang lingkar bawah (W_b)

$$W_b = \frac{I_{NA}}{Z_1} \quad (17)$$

Sehingga didapatkan nilai $Z_1 = 1.65$ meter, $Z_2 = 3.07$ meter, $I_{xx} = 0.31$ meter⁴, $I_{NA} = 0.12$ meter⁴, $W_b = 0.0007$ meter³, dan $W_a = 0.0004$ meter³.

3.5. Perhitungan Tegangan lengkung dan Safety Factor *Pontoon Lift*

Tegangan yang digunakan sebagai parameter kekuatan *pontoon lift* adalah tegangan lengkung konstruksi yang terjadi pada lingkar atas dan lingkar bawah, dimana dapat ditentukan dengan persamaan berikut.

$$\sigma_L = \frac{M_{maximum}}{W} \quad (18)$$

Sehingga didapatkan nilai tegangan *pontoon lift* untuk setiap skenario pemuatan ditunjukkan pada Tabel 4. Selanjutnya ditentukan factor safety dengan membandingkan nilai tegangan luluh material (*yield point*) = 276 MPa dengan tegangan konstruksi untuk semua skenario pemuatan *pontoon lift*.

Tabel 4. Perhitungan nilai tegangan lengkung dan safety factor

Skenario operasi <i>poonton lift</i>	Tegangan pada lingkar atas (MPa)	Tegangan pada lingkar bawah (MPa)	Tegangan luluh material (MPa)	Safety Factor
<i>Poonton lift tanpa muatan</i>	107.17	57.66	276	1.29 ~ 4.79
<i>Poonton lift dengan muatan</i>	214.56	115.45	276	

Tabel 4 menunjukkan tegangan konstruksi *poonton lift* pada setiap skenario operasi tidak melebihi tegangan luluh material, sehingga bisa dikategorikan aman dengan nilai safety factor minimum sebesar 1.29. Hal ini menindaklanjuti penelitian sebelumnya (Alamsyah dkk, 2020a) bahwa nilai tegangan maksimum konstruksi *poonton lift* berada pada nilai 75 MPa dengan skenario operasi yang sama akan tetapi belum dilengkapi dengan *upper deck* dan *lower deck* sebagai sarana penunjang operasi.

4. KESIMPULAN

Kesimpulan penelitian bahwa dideteksi tegangan pada kontruksi *poonton lift* setelah dilakukan penambahan *upper deck* dan *lower deck* beserta komponen pendukungnya dikategorikan aman karena nilai safety factor yang dihasilkan berada di atas 1 (satu).

UCAPAN TERIMA KASIH

Terimah kasih sebesar-besarnya kepada pihak-pihak yang berkontribusi dalam penulisan artikel ini *include* laboratorium Teknologi dan Inovasi Kemaritiman, LPPM ITK yang telah memotivasi tim penulis untuk senantiasa berkarya, dan pihak lain yang tidak disebutkan namanya.

REFERENSI

- [1] Alamsyah dkk. 2020a. "An Analyze of Fatigue Life Construction of Lifting Poonton for Small Vessel." In *Bicame 3*, , 95–101.
- [2] ———. 2020b. "ANALISISI DESAIN LIFTING POONTON UNTUK KAPAL KECIL." *Jurnal Inovtek Polbeng* 10(1): 84–97.
- [3] BKI. 2017. *Rules for the Classification and Construction. Part 1 Seagoing Ship. Volume V Rules for Materials*. Jakarta: BKI.
- [4] Hidayat, T. N. 2017. "Kekuatan Memanjang Dan Longitudinal Buckling Pada Kapal Survei Seismik Geomarin IV." http://repository.its.ac.id/45223/7/4313100078-Undergraduate_Theses.pdf.
- [5] K. Owen, F.H., & Jeom. 2010. *Ship Structural Analysis and Design*. New Jersey: Society of Naval Architects and Marine Engineers (SNAME).
- [6] Pemerintah RI. *Kitab Undang-Undang Hukum Dagang (KUHD) 309*. Indonesia.
- [7] Pranoto. 2020. "Perkapalan Laut."
- [8] R. A. Serway, J. J. Jewett. 2009. *Fisika Untuk Sains Dan Teknik*. Jakarta: Salemba Tehnik.
- [9] Y. Bai. 2003. *Marine Structure Design*. Elsevier